

大阪府立工業高等専門学校 正員 岡原博夫
 京都大学 工学部 正員 白石成人
 京都大学 工学部 正員 松本勝

1. 考え方

鈍い物体の下流には頭着な剝離流を形成し、非線形現象としての周期的な後流流速変動の安定性の問題、実際的な問題として構造物の揚力振動発生メカニズムの問題、またそれらに及ぼす接近流の流れの効果の問題等剝離流に関する問題には、なお不明な点が多い。本研究は、このような剝離流に関する問題として、矩形断面の背圧係数および後流流速変動に及ぼす主流の気流変動の効果を風洞実験的に調べ、剝離を伴う物体の空力現象に及ぼす乱流効果等を検討しようとするものであるか、ここでは基礎的な実験結果を報告するものである。

2. 実験装置および実験方法

使用した風洞は、大阪府立工業高等専門学校で試作した吹出し式風洞($0.4m \times 0.4m$)であり、本風洞は、整流筒上流側に設置した回転羽根式シャッターによって主流方向に周期的な変動風を発生することが可能である。矩形断面模型は、平均風速と直交する方向の辺長 $D = 4cm$ を一定とし、平均風速方向の幅 B を変化させ辺長比 B/D の異なる模型とする。模型の長さ L は $6D$ であり、各模型には $5D \times 5D$ の端板(厚さ1mmのアルミ製)を取り付け、さらに端板の外側には導流壁(厚さ5mmのアクリル樹脂製)を設置した。また、平均背圧は模型背面中央付近にあけた直径1mmの穴からビニールチューブによってベッツ型コメータによる測定した。実験時のReynolds数は D を基準長とした場合、 $1 \sim 2 \times 10^4$ である。矩形断面後流には、Karman渦が発生するか、Karman渦の発生していない状態における背圧係数 C_{pb} の辺長比 B/D に関する変化特性を調べるために、後流などみ線上にスプリッタ板(長さ $23D$ 、厚さ2mmのアルミ板)を設置して実験を行った。なお、このスプリッタ板は、平均流方向に可動であり、スプリッタ板の位置を変化させることにより、 $-C_{pb}$ および周辺気流変動を測定し、Karman渦の発生状態を調べる。流速変動の RMS 値は、熱線流速計と RMS 計によって求められた。実験は、一様流(乱れの強さ1.2%)、主流方向に周期的な変動成分を有する変動流、および格子乱流を行った。

3. 実験結果および考察

図-1は、スプリッタ板の位置を変化させた場合の正方形断面の $-C_{pb}$ の測定値であり、白丸印はスプリッタ板を下流側へ引抜いていく状態、黒丸印は上流側へ挿入していく状態で測定した結果である。スプリッタ板によってKarman渦の発生を抑制した状態から板を下流側へ引抜いていく際、断面周辺気流が周期的な変動を開始し、 $-C_{pb}$ が急に大きくなるまでの板の位置を X_{ks} 、一方、Karman渦が発生している状態で板を模型背面側へ挿入していく際、周辺気流の変動が終止し、 $-C_{pb}$ が急に低下するまでの板の位置を X_{ke} とする。図-1より X_{ks} と X_{ke} は異なった値を示し、頭著なヒステリシス特性が認められる。このような X_{ks}/D 、 X_{ke}/D を周期的変動流中で測定した結果が図-2、図-3である。図-2は正方形断面、

図-3は辺長比 $B/D = 0.5$ の矩形断面の結果である。各々の図に主流方向周期流の固波数と後流流速変動(Karman渦)の固波数 f_k との比 f/f_k を同時に示す。図-4は、辺長比 $B/D = 0.5$ の矩形断面の背圧係数を周期流中で測定した結果

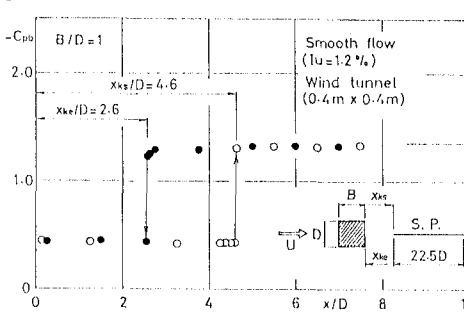


図-1 背圧係数のスプリッタ板の位置による変化

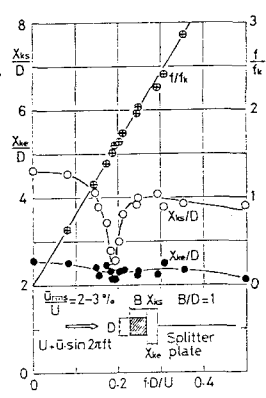


図-2 X_ks/D, X_ke/D, f/f_k, f_k/D

であり、Karman渦発生周波数の2倍成分付近でピークが存在し、同期流の振幅を大きくすれば、その傾向は強くなる。従来、薄翼の後流、および急変する角部より利離した利離せん断層か、外部のスピーカーによって音響的に同期的な強制擾乱が与えられた場合、高調波および分散調波成分を有する流れとなる結果が報告されており、後流流速変動の非線形現象としての特性が示されている。また、著者らは⁷⁾、以前矩形断面の抗力係数を主流方向同期流中で測定したところ、アフターボディの影響の小さい特に辺長比0.62以下の断面でKarman渦発生周波数の偶数倍成分でピークが顕著となつた。後流流速変動特性の1つと考えられる X_{ks}/D は、辺長比が0.5の断面では $t/t_k = 2$ 附近で極小値をとり、 $-C_{pb}$ の極大値となる特性との関連性が認められる。一方、図2に示される辺長比1の正方形断面では、 X_{ks}/D の極小値は $t/t_k = 1.5$ 附近にあり、 $B/D = 0.5$ の結果と大きく異なる。このように主流に含まれる変動成分の効果は、断面のアフターボディの影響を大きく受ける。図5、図6は、 X_{ks}/D 、 X_{ke}/D 、 $-C_{pb}$ および後流流速変動が極大となる点と模型背面との距離 X_{fr} を D で無次元化して X_{fr}/D を辺長比に関する変化特性として示したもの。図5は一様流、図6は格子乱流中の結果である。これらの図より、 X_{ks}/D 、 X_{ke}/D と $-C_{pb}$ との相関性の小さいことが認められるが、 X_{ks}/D の B/D に関する変化特性は、従来報告されていいるStrouhal数の B/D に関する変化特性と類似している。一方、 X_{fr}/D と $-C_{pb}$ との相関性がよく、これらを両対数紙上にプロットしたもののが図7である。図5、図6、図3 X_{ks}/D 、 X_{ke}/D 、 $t/t_k - t/D/U$ には、スプリッターボードによりKarman渦の発生を抑制した状態での $-C_{pb}$ の B/D に関する変化特性が示されるが、 $B/D < 2.8$ の完全利離タイプの断面では $-C_{pb}$ はほぼ一定であり、スプリッターボード無しの結果と比較することにより背压係数に及ぼすKarman渦の効果の大さいことが推定される。また、乱流中では利離流の再付着が促進されることが示され、スプリッターボード有りの場合、一様流中より乱流中の $-C_{pb}$ が大きい。⁸⁾図4に示す周波数特性からも推定される傾向である。なお、 $B/D = 0.5$ の乱流中の $-C_{pb}$ が従来の結果と異なり、この点に関しては文献2)に述べられてゐるが、アスペクト比の問題を考えられる。

最後に、実験を手伝つていただいた大阪府立高専技術室口治氏、当時学生中尾勝利氏(現大阪市)、沢田章治氏(現中央復建コンサルタント)に謝意を表す。

参考文献①岡南・白石・松本、日本風工学会誌、No.16、1983

2)岡南・福口・中尾・沢田、昭和59年度土木学会関西支部年譲講演概要集

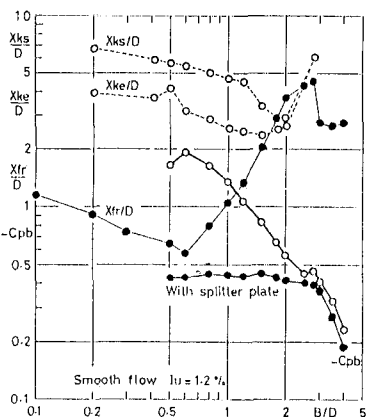


図5 高元系数、後流流速変動の辺長比に関する変化特性(一様流)

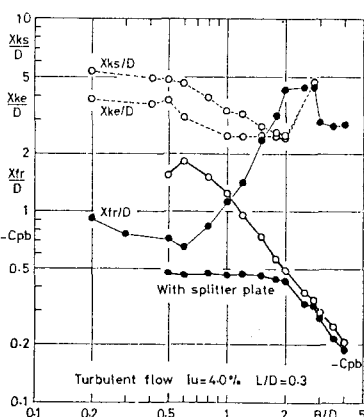


図6 高元系数、後流流速変動の辺長比に関する変化特性(乱流)

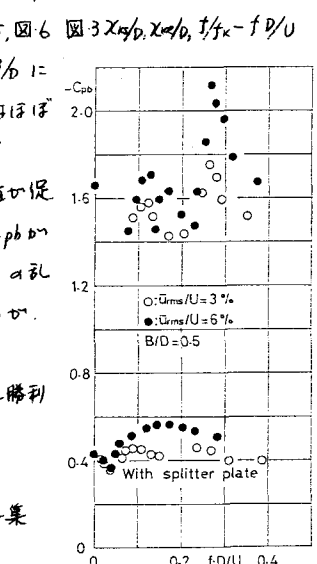
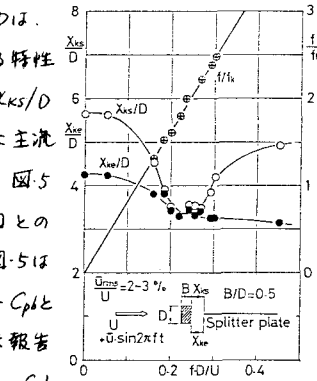


図4 (-C_{pb}) - f/D/U

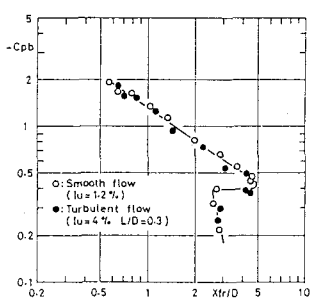


図7 (-C_{pb}) - X_{fr}/D